

Universidad de Los Andes
Facultad de Ciencias
Departamento de Matemática
Mérida - Venezuela

**Estudio de las órbitas acotadas de las funciones
cuadráticas para parámetros en el complemento del
conjunto de Mandelbrot**

Ramírez Matheus Antonio José

Tutor: Leonardo Mora

Índice general

Introducción	5
1. Preliminares	7
2. Análisis de las preimágenes del disco $C(0, c)$ por medio de la función $Q_c(z) = z^2 + c$	15
3. Convergencia a 0 del $\text{diam}(D_{i_1, i_2, \dots, i_n})$ cuando $n \rightarrow \infty$ para valores de $ c > 2$	33
4. Teorema Principal	47

Introducción

En esta monografía analizaremos la geometría del conjunto formado por los puntos z tales que su órbita por medio de la función compleja $Q_c(z) = z^2 + c$ se mantiene acotada, para valores de $|c| > 2$. Para ello hemos dividido el trabajo en 4 capítulos cuyos contenidos son:

Capítulo 1 Se darán algunas definiciones que serán utilizadas. Analizaremos la función compleja $Q_c(z) = z^2 + c$ y la función multivaluada $F(w) = \sqrt{w - c}$, también presentaremos el conjunto de Mandelbrot. Además para cada valor de c ($|c| > 2$) localizaremos el conjunto que queremos estudiar en el interior del disco $C(0, |c|)$.

Capítulo 2 Analizaremos las preimágenes del disco que contiene al conjunto por medio de la función $Q_c(z) = z^2 + c$ y se verificará que dicha preimagen está en el interior del disco $C(0, |c|)$.

Capítulo 3 Se presentan dos caminos para demostrar la convergencia a 0 del diámetro de los “discos” D_{i_1, \dots, i_n} cuando $n \rightarrow \infty$. Uno de estos caminos nos servirá para demostrar dicha convergencia para valores de $|c| > \frac{5 + \sqrt{24}}{4}$. En el segundo camino introduciremos unas nuevas definiciones que nos ayudaran a demostrar tal convergencia para valores de $|c| > 2$.

Capítulo 4 Expondremos el teorema principal. Definamos el conjunto:

$$\Lambda_c = \{z \in \mathcal{C} : \text{su órbita por medio de la función } Q_c \text{ esta acotada}\}.$$

Demostraremos que:

Teorema Principal Sea $c \in \mathcal{C}$ con $|c| > 2$ entonces Λ_c es un conjunto de Cantor.

Capítulo 1

Preliminares

En este capítulo estudiaremos algunas funciones de variable compleja que serán utilizadas en este trabajo. Luego definiremos algunos conceptos que nos ayudarán a entender cual es nuestro objetivo.

Para comenzar recordemos que una función F de variable compleja z se dice **analítica** (holomórfica) en un conjunto abierto si tiene derivada en todo punto del conjunto.

Observación: Denotaremos el conjunto de numeros complejos como \mathcal{C} .

Definición 1.1 Una **Función Multivaluada** que denotaremos como F es una asignación de un subconjunto $U \subset \mathcal{C}$ a \mathcal{C} tal que, le asigna más de un valor $F(z)$ a un punto $z \in U$.

Cuando se estudian funciones multivaluadas tomamos solo uno de los valores asignados a cada punto y así se construye una función univaluada (o sea que cada punto del dominio de la función se le asigna un solo valor) a partir de la función multivaluada.

Definición 1.2 Se define una **Rama de una función multivaluada**

$F : U \subset \mathcal{C} \rightarrow V \subset \mathcal{C}$ como una función univaluada $G : U \rightarrow V_1 \subset V$ que sea analítica en su dominio en el que cada punto z tiene asignado uno de los valores de $F(z)$.

Ejemplo: Sea la función $G(w) = w^2$, veamos que está función origina una función multivaluada, en efecto si despejamos z de la ecuación $z = w^2$ obtenemos $z^{1/2}$ y así, sí $z = re^{i\theta}$ es un número complejo no nulo entonces sabemos que $z^{1/2} = \pm\sqrt{r}e^{i\theta}$ tiene dos valores que representan las dos raíces de z y donde θ es el valor principal

$(-\pi < \theta \leq \pi)$ del argumento de z (lo denotaremos $arg(z)$). Pero si escogemos solo el valor positivo y hacemos:

$$F(z) = \sqrt{r}e^{i\theta/2} \quad (r > 0, \quad -\pi < \theta < \pi)$$

entonces construimos una rama de la función $z^{1/2}$ que es univaluada y analítica en su dominio. Está rama de la función $z^{1/2}$ es llamada la rama principal (de manera análoga podríamos hacerlo con el valor $-\sqrt{r}e^{i\theta/2}$), además obtenemos que la función $G(w) = w^2$ es tal que $F(G(w)) = w$ y $G(F(z)) = z$.

Notemos que para cada α fijo la función

$$F(z) = \sqrt{r}e^{i\theta/2} \quad (r > 0, \quad \alpha < \theta < \alpha + 2\pi)$$

es una rama de $z^{1/2}$.

Análisis de la función multivaluada $f(w) = \sqrt{w - c}$

Notemos que la función $f(w) = \sqrt{w - c}$ es una composición de la traslación $Z(w) = w - c$ con la función bivaluada (o sea que toma dos valores) $H^{1/2}$. Así cada rama de $H^{1/2}$ produce una rama de $(w - c)^{1/2}$. Si $H = Re^{i\theta}$, las ramas de $H^{1/2}$ son:

$$H^{1/2} = \sqrt{R}e^{i\theta/2} \quad (R > 0, \alpha < \theta < \alpha + 2\pi).$$

En consecuencia si llamamos $R = |w - c|$, $\theta = arg(w - c)$, construimos la rama principal de $(w - c)^{1/2}$ como:

$$\psi_0(w) = +\sqrt{|w - c|}e^{\frac{iarg(w-c)}{2}} \quad (-\pi < arg(w - c) < \pi)$$

o

$$\psi_1(w) = -\sqrt{|w - c|}e^{\frac{iarg(w-c)}{2}} \quad (-\pi < arg(w - c) < \pi),$$

además tenemos que la función $Q_c(z) = z^2 + c$ en dominios distintos es la función inversa de ψ_0 y ψ_1 . Veamos en la Figura 1 que el plano W menos la recta pintada

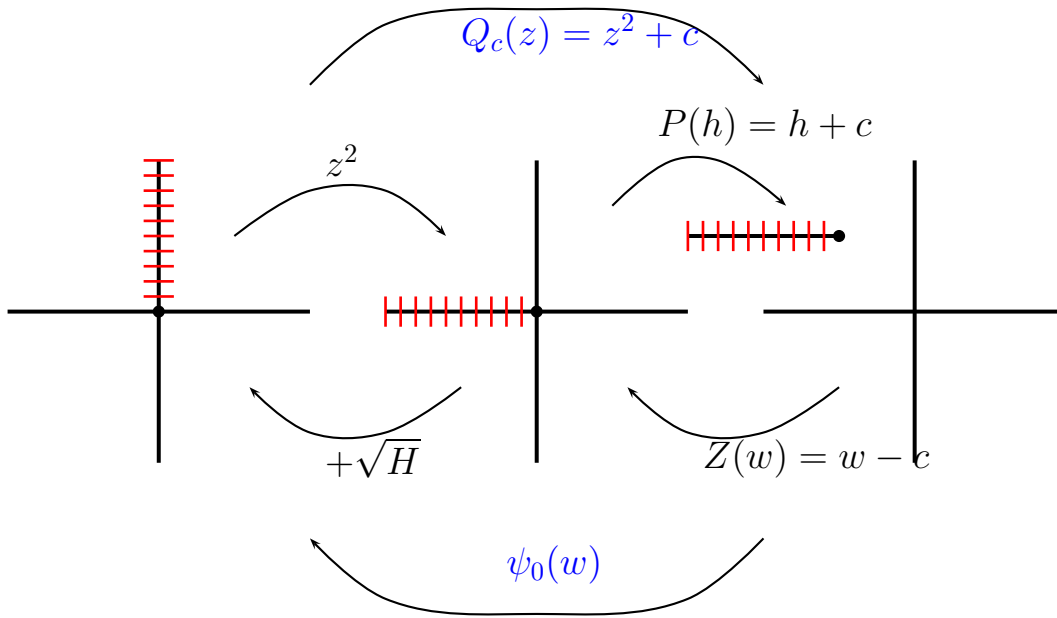


Figura 1

en rojo es transformado por medio de $\psi_0(w)$ al semi-plano derecho del plano Z (y de manera análoga $\psi_1(w)$ manda el plano W menos la recta pintada en rojo al semi-plano izquierdo del plano Z).

Notemos que si tomamos como rama

$$\psi_0(z) = \sqrt{|w - c|} e^{\frac{i \arg(w - c)}{2}} \quad (0 < \arg(w - c) < 2\pi),$$

entonces el plano W menos la recta pintada en rojo (ver Figura 2) es transformada por medio de ψ_0 al semi-plano de arriba del plano Z .

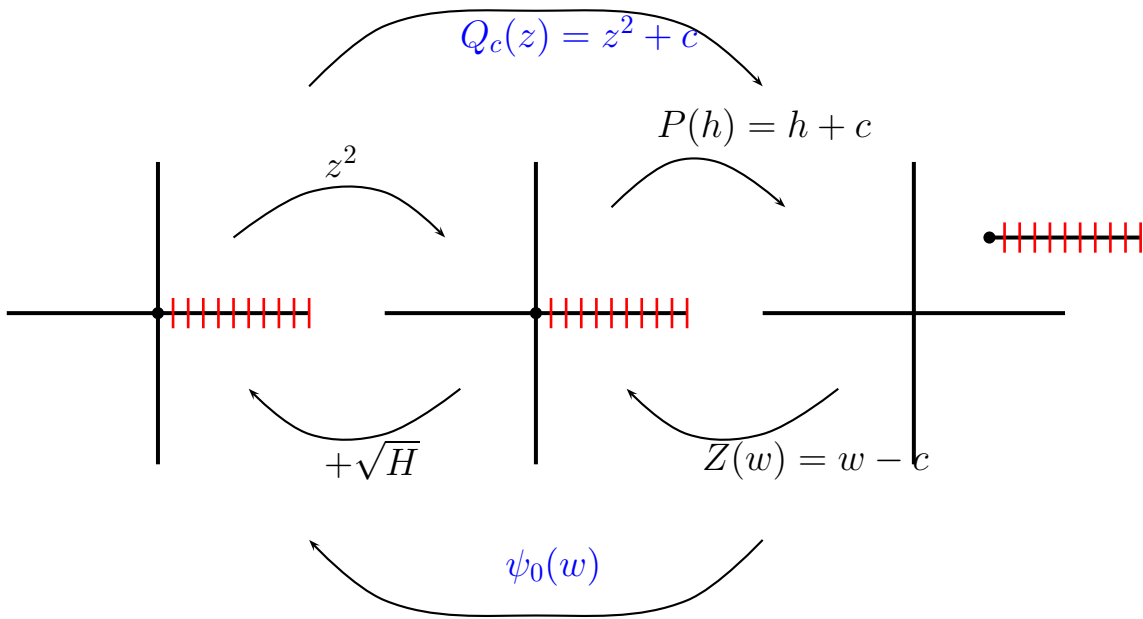


Figura 2

Conjunto de Mandelbrot

Definición 1.3 Un conjunto Λ es un conjunto de Cantor si es cerrado, totalmente desconexo y un conjunto perfecto. Un conjunto es totalmente desconexo si no contiene "bolas" y un conjunto es perfecto si cada punto en el es un punto de acumulación del conjunto.

Definición 1.4 Se define la órbita de $z \in \mathbb{C}$ por medio de la función $Q_c(z) = z^2 + c$ como el conjunto $\{z, Q_c(z), Q_c^2(z), \dots, Q_c^n(z), \dots\}$, donde $Q_c^{n+1}(z) = Q_c \circ Q_c^n(z)$.

Definición 1.5 Un punto $z \in \mathbb{C}$ es llamado **punto fijo de la función $Q_c(z)$** si $Q_c(z) = z$. Y un punto z para el cual se tiene $Q_c^p(z) = z$ para algún $p \in \mathbb{Z}^+$, se dice que es un **punto periódico de período n** .

Los puntos periódico se pueden clasificar según el valor de $\lambda = |(Q_c^p)'(z)|$ de la siguiente manera:

- $0 < \lambda < 1$ se dice que z es un punto atractor
- $\lambda > 1$, z es un punto repulsor
- $\lambda = 0$, z es un punto superatractor
- $\lambda = 1$, z es un punto indiferente.

Definición 1.6 Sea $P : \mathbb{C} \rightarrow \mathbb{C}$ un polinomio. Se define el conjunto **Julia**, como la clausura del conjunto de puntos repulsores de P (y lo denotaremos $J(P)$).

En matemática algunos conjuntos son generados por iteraciones, o sea repetir un proceso varias veces y por lo general este proceso es la aplicación de una función y para nuestro objetivo será la función compleja $Q_c(z) = z^2 + c$.

Definición 1.7 *Se define el conjunto de Mandelbrot como el subconjunto del plano complejo definido por:*

$M = \{c \in \mathcal{C} : \text{la sucesión } Q_c^n(0) \text{ no converge a infinito}\}$
o equivalentemente

$$M = \{c \in \mathcal{C} : J_c \text{ es conexo}\}.$$

Una ilustración de este conjunto se muestra en la Figura 3.

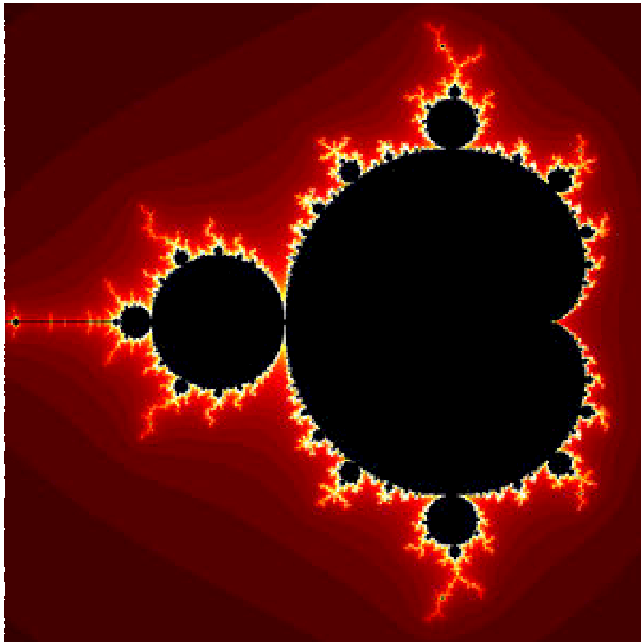


Figura 3

De manera que estamos ya preparados para conocer cual es nuestro objetivo. Definamos el conjunto:

$$\Lambda_c = \{z \in \mathcal{C} : \text{su órbita por medio de la función } Q_c \text{ está acotada}\}.$$

Demostraremos que:

Teorema Principal Sea $c \in \mathcal{C}$ con $|c| > 2$ entonces Λ_c es un conjunto de Cantor.

Afirmamos aunque no lo demostraremos que este conjunto es el conjunto de **Julia** para valores de $|c| > 2$. Así estaremos demostrando que el conjunto de Julia es un conjunto de Cantor para $|c| > 2$ y además que el conjunto de Mandelbrot esta en el disco de centro 0 y radio 2.

Observación: La finalización de la demostración de un teorema o una proposición lo denotaremos como \boxtimes y definiremos un disco de centro 0 y radio r como el conjunto $S = \{z \in \mathcal{C}; |z| \leq r\}$, lo denotaremos $C(0, r)$.

Localización del conjunto Λ_c

Proposición 1.1 Sea $|c| > 2$ y supongamos que $|z| \geq |c|$, entonces $Q_c^n(z) \rightarrow \infty$ cuando $n \rightarrow \infty$.

Demostración: Sea $|z| = r \geq |c| > 2$. Entonces Q_c transforma la frontera disco de radio r centrado en 0 en la frontera del disco de radio r^2 centrado en c .

En efecto, sea $|z| = r$ y veamos que:

$$|Q_c(z) - c| = |(z^2 + c) - c| = |z^2| = |z|^2 = r^2. \quad (1)$$

Como $r > 2$ entonces $r^2 > 2r$.

Afirmamos que el disco $C(0, r)$ está en el interior del disco $C(c, r^2)$.

Para verificar esto, tomemos $z \in C(0, r)$ y veamos que

$$|z - c| \leq |z| + |c| \leq r + r < r^2$$

así $C(0, r) \subset C(c, r^2)$.

Luego por (1) y debido a que el disco $C(0, r)$ esta en el interior de $C(c, r^2)$ podemos afirmar que $|Q_c(z)| > r$, en consecuencia $|Q_c(z)| > |z| \quad \forall |z| \geq |c|$.

Demostremos ahora que $|Q_c^n(z)| \rightarrow \infty$ cuando $n \rightarrow \infty$.

Afirmamos que $|Q_c^n(z)| > |c| (|c| - 1)^{2^{n-1}} \quad \forall n$.

Caso $n = 1$. Veamos que:

$$|z^2 - c + c| \leq |z^2 + c| + |c|$$

así,

$$|z^2 + c| \geq |z|^2 - |c|$$

luego

$$|Q_c(z)| = |z^2 + c| \geq |z|^2 - |c| \geq |c|^2 - |c| = |c|(|c| - 1) \quad (|z| \geq |c|).$$

Por tanto es cierto cuando $n = 1$. Supongamos que es cierto para $n - 1$ esto es

$$|Q_c^{n-1}(z)| > |c| (|c| - 1)^{2^{n-2}},$$

y demostremos que es cierto para el caso n . En efecto:

$$|Q_c^n(z)| = |Q_c(Q_c^{n-1}(z))| = |(Q_c^{n-1}(z))^2 + c| \geq |Q_c^{n-1}(z)|^2 - |c| > |c|^2 (|c| - 1)^{2^{n-2+1}} - |c|$$

siguiendo que $|c|^2 (|c| - 1)^{2^{n-2+1}} - |c| = |c| [|c| (|c| - 1)^{2^{n-1}} - 1]$.

Ahora veamos que

$$|c| (|c| - 1)^{2^{n-1}} - 1 > (|c| - 1)^{2^{n-1}}?$$

o sea debemos preguntarnos si $(|c| - 1)^{2^{n-1}+1} > 1$? Pero sabemos que $|c| - 1 > 1$ así $(|c| - 1)^{2^{n-1}+1} > 1$ entonces obtenemos que:

$$|Q_c^n(z)| > |c| (|c| - 1)^{2^{n-1}}.$$

Por tanto es cierto para el caso n , así podemos concluir que

$$|Q_c^n(z)| > |c| (|c| - 1)^{2^{n-1}} \quad \forall n.$$

Luego tomando límite cuando $n \rightarrow \infty$ en la ecuación anterior obtenemos que:

$$\lim_{n \rightarrow \infty} |Q_c^n(z)| > \lim_{n \rightarrow \infty} |c| (|c| - 1)^{2^{n-1}}$$

pero

$$\lim_{n \rightarrow \infty} |c| (|c| - 1)^{2^{n-1}} = \infty$$

así,

$$\lim_{n \rightarrow \infty} |Q_c^n(z)| = \infty. \quad \blacksquare$$

De manera que concluimos por la proposición anterior que el conjunto Λ_c esta en el interior del disco de centro 0 y radio $|c|$.

Λ_c es un conjunto invariante por medio de la función $Q_c(z)$

Sea $z \in \Lambda_c$ entonces su orbita se mantiene acotada para valores de $|c| > 2$.
 Veamos que $Q_c(z) \in \Lambda_c$:

En efecto, ya que la sucesión

$$z, Q_c(z), Q_c^2(z), \dots, Q_c^n(z), \dots, Q_c \circ Q_c^n(z) \dots \quad 1)$$

se mantiene acotada y la sucesión

$$Q_c(z), Q_c^2(z), \dots, Q_c^n(z), \dots, Q_c \circ Q_c^n(z) \dots$$

es una cola de la sucesión 1), de manera que la orbita de $Q_c(z)$ se mantiene acotada para valores de $|c| > 2$. Por tanto $Q_c(z) \in \Lambda_c$.

Capítulo 2

Análisis de las preimágenes del disco $C(0, |c|)$ por medio de la función $Q_c(z) = z^2 + c$

Como ya vimos en el capítulo 1 para cada c ($|c| > 2$) el conjunto Λ_c está en el interior del disco $C(0, |c|)$ y además sabemos que si $z \in \Lambda_c$ sus iteradas por medio de la función $Q_c(z)$ también pertenecen a Λ_c entonces sus iteradas también están en el interior del disco $C(0, |c|)$ de manera que trabajaremos hallando la preimagen de $C(0, |c|)$ por medio de la función $Q_c(z)$.

Proposición 2.1 *Sea γ la preimagen del disco de centro 0 y radio $|c|$ por medio de la función compleja $Q_c(z) = z^2 + c$ entonces,*

1. “ γ tiene forma de ocho”.
2. γ está en el interior del disco de centro cero y radio $|c|$, además los puntos que están en el complemento de γ y en el interior de $C(0, |c|)$ sus iteradas están en el exterior de $C(0, |c|)$.

Demostración:

1) Afirmanos: “ γ tiene forma parecida a un ocho” (ver Figura 4).

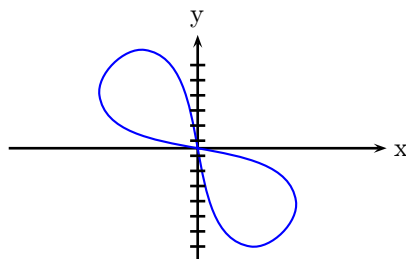


Figura 4

Sea $w \in C(0, |c|)$, sabemos que w proviene de la función $Q_c(z) = z^2 + c$ de manera que $w = z^2 + c$, despejando obtenemos que $z = \sqrt{w - c}$ la cual es la función analizada en el capítulo 1, así si suponemos que “ c ” se encuentra en el semiplano izquierdo de la frontera del disco $C(0, |c|)$ definimos la rama principal de esta función como

$$z = \psi_0(w) = \sqrt{|w - c|} e^{i \frac{\arg(w - c)}{2}}$$

$$-\pi < \arg(w - c) < \pi$$

$$z = \psi_1(w) = -\sqrt{|w - c|} e^{i \frac{\arg(w - c)}{2}}$$

Observación: Si “ c ” se encuentra en el semiplano derecho entonces trabajaríamos con la rama $\psi_0(w)$ y $\psi_1(w)$ con el $0 < \arg(w - c) < 2\pi$, en tal caso el procedimiento es el mismo.

Así:

- a) Si $w = c$ entonces existe una sola preimagen ya que $z = \sqrt{w - c} = \sqrt{c - c} = 0$ así $z = 0$.
- b) Si $w \neq c$ existen dos preimágenes dadas por $\psi_0(w)$ y $\psi_1(w)$ respectivamente.

Para obtener lo deseado observemos como se mueve el radio vector de $z = \psi_0(w)$ y $z = \psi_1(w)$ cuando w se desplaza a lo largo de la frontera de $C(0, |c|)$. Cuando $w = c$ sabemos que $z = 0$ y cuando $w \neq c$, observemos que si $w = |c|e^{i\theta_w}$ y $c = |c|e^{i\theta_c}$ entonces los $|z|$ están dados por la función

$$\begin{aligned}
V(\theta_w) &= \sqrt{|w - c|} = \sqrt{|c|e^{i\theta_w} - |c|e^{i\theta_c}} = \sqrt{|c|}\sqrt{|e^{i\theta_w}||1 - \frac{e^{i\theta_c}}{e^{i\theta_w}}|} \\
&= \sqrt{|c|}\sqrt{|1 - e^{i(\theta_c - \theta_w)}|} \quad \text{ya que } e^{i(\theta_c - \theta_w)} = \frac{e^{i\theta_c}}{e^{i\theta_w}} \text{ y } |e^{i\theta_w}| = 1 \\
&= \sqrt{|c|}\sqrt{|1 - \cos(\theta_c - \theta_w) + i \operatorname{sen}(\theta_c - \theta_w)|} \quad (e^{i\theta} = \operatorname{sen} \theta + i \operatorname{cos} \theta) \\
&= \sqrt{|c|}\sqrt{(1 - \cos(\theta_c - \theta_w))^2 + \operatorname{sen}^2(\theta_c - \theta_w)} \quad (|z| = \sqrt{x^2 + y^2}) \\
&= \sqrt{|c|}\sqrt{1 - 2\cos(\theta_c - \theta_w) + \cos^2(\theta_c - \theta_w) + \operatorname{sen}^2(\theta_c - \theta_w)} \\
&= \sqrt{|c|}\sqrt{2 - 2\cos(\theta_c - \theta_w)}. \tag{1}
\end{aligned}$$

Para ver la gráfica de (1) vemos que la función $V(\theta_w)$ también depende del valor de $|c|$ y de θ_c .

Veamos donde varía $\theta_c - \theta_w$ (ver Figura 5),

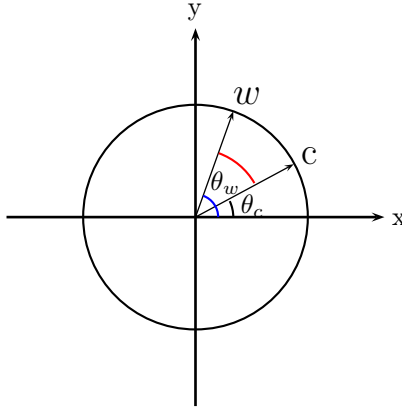


Figura 5

observamos que cuando w recorre la frontera del disco $C(0, |c|)$ entonces $\theta_c - \theta_w$ varía entre

$$\theta_c \leq \theta_c - \theta_w \leq \theta_c + 2\pi.$$

De manera que en cualquier lugar que se encuentre c en el disco $C(0, |c|)$, el ángulo $\theta_c - \theta_w$ estará en un intervalo de longitud 2π . Así para valores de $|c| > 2$,

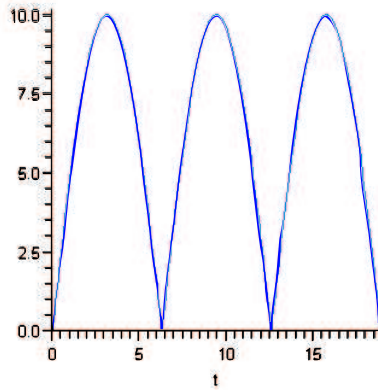


Figura 6

obtenemos (ver Figura 6) que los valores de $|z|$ llegan a un máximo y a un mínimo en cualquiera de los intervalos de longitud 2π , así si restringimos nuestro análisis a uno de los intervalos de longitud 2π (debido a que nuestra función es periódica de periodo 2π) vemos que la función $V(\theta_w)$ alcanza un mínimo en $z = 0$ y luego la función alcanza un máximo que depende del valor $|c|$ para así volver nuevamente al mínimo en $z = 0$.

Por último, veamos cuál es la abertura del “ocho”. Para ello analizaremos donde varía el $\arg(z)$ cuando w se mueve a través de la frontera de $C(0, |c|)$. Así,

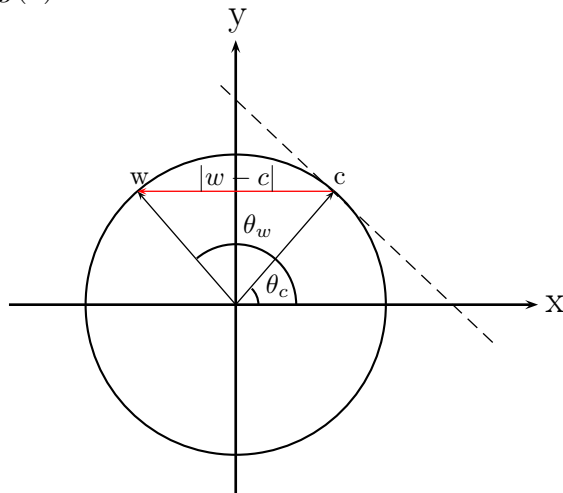


Figura 7

cuando w recorre la frontera del disco $C(0, |c|)$ (ver Figura 7) el $\arg(w - c)$ varía

con respecto a l de 0 a π .

Luego trasladando el vector $w - c$ al origen obtenemos que

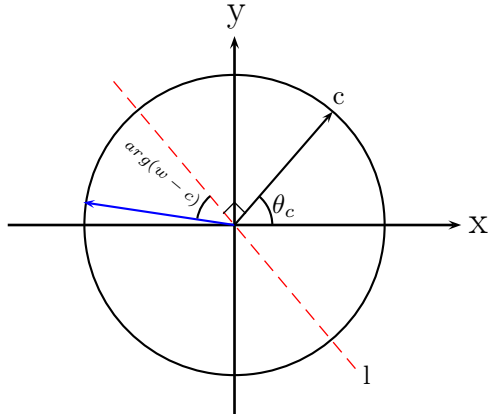


Figura 8

el $arg(w - c)$ con respecto al eje x cumple con (ver Figura 8)

$$\theta_c + \frac{\pi}{2} < arg(w - c) < \theta_c + \frac{3\pi}{2}.$$

Así dividiendo entre 2 obtenemos que $\frac{arg(w-c)}{2}$ con respecto al eje x cumple con

$$\frac{\theta_c}{2} + \frac{\pi}{4} < \frac{arg(w - c)}{2} < \frac{\theta_c}{2} + \frac{3\pi}{4}$$

concluyendo así que los argumentos de los z están dentro de un cono de abertura $\frac{\pi}{2}$ (ver Figura 9).

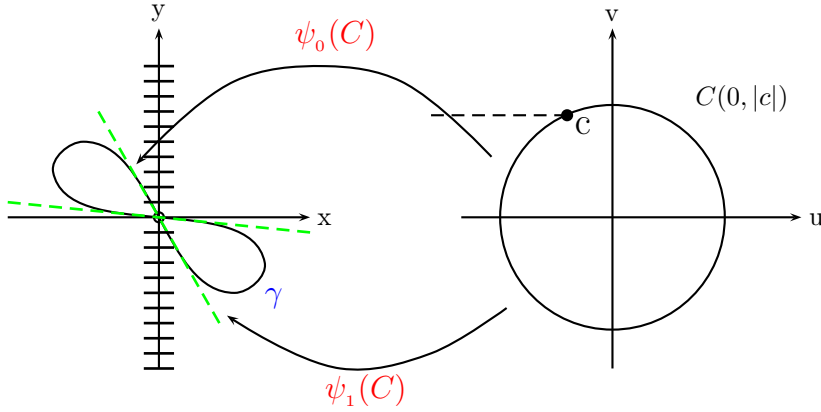


Figura 9

Lo cual demuestra que γ tiene la forma deseada.

2) γ está en el interior del disco de centro cero y radio $|c|$ (ver Figura 10) además los puntos que están en el complemento de γ y en el interior de $C(0, |c|)$ sus iteradas están en el exterior de $C(0, |c|)$.

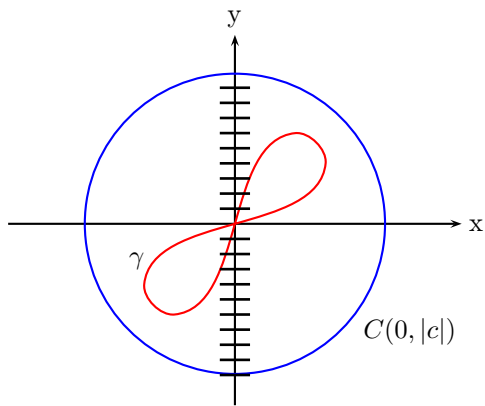


Figura 10

Sea $z \in \gamma$ y supongamos por reducción al absurdo que $|z| \geq |c|$, entonces por la proposición 1.1 su primera iterada estaría fuera de $C(0, |c|)$, pero esto es absurdo ya que z es preimagen de un $w \in C(0, |c|)$. Por tanto $|z| < |c| \quad \forall z \in \gamma$, así $\gamma \subset C(0, |c|)$.

Veamos ahora que los puntos que están en el complemento de γ y en el interior de $C(0, |c|)$ sus iteradas están en el exterior de $C(0, |c|)$. En efecto, ya que si suponemos que su primera iterada está dentro del disco $C(0, |c|)$ entonces su preimagen estuviera dentro de γ pero esto es $(A \subset B \implies Q_c^{-1}(A) \subset Q_c^{-1}(B))$ absurdo ya que lo estamos tomando entre γ y $C(0, |c|)$ por consiguiente las iteradas de estos puntos están en el exterior de $C(0, |c|)$. \blacktimes

Seleccionemos ahora $r < |c|$ tal que γ esté contenido en el interior del disco $C(0, r)$ (esto es posible ya que γ es compacta y además está en el interior del disco $C(0, |c|)$) y demostremos que:

Proposición 2.2 *Sea $C = C(0, r)$ el disco que está en el interior de $C(0, |c|)$ y contiene a γ entonces*

1. $\Lambda_c = \bigcap_{n=1}^{\infty} Q_c^{-n}(C)$.

2. $Q_c^{-n}(C)$ está formado por la unión de 2^n "discos".

Demostración :

- 1) $\Lambda_c = \bigcap_{n=1}^{\infty} Q_c^{-n}(C)$.

Sea $p \in \bigcap_{n=1}^{\infty} Q_c^{-n}(C)$, entonces por la proposición 1.1 sus iteradas por medio de la función Q_c están en el interior de $C(0, |c|)$. Lo cual significa que

$$p, Q_c(p) = w_0, Q_c^2(p) = w_1, Q_c^3(p) = w_2, \dots, \subset C(0, |c|)$$

de manera que obtenemos

$$\psi_0(w_0) = p, \psi_0(w_1) = Q_c^{-1}(p), \psi_0(w_2) = Q_c^{-2}(p), \dots, \subset \gamma \subset C$$

(esto se debe a que la preimagen de C es γ y además ψ_0 y Q_c son funciones inversas),

por ende $p \in \bigcap_{n=1}^{\infty} Q_c^{-n}(C)$.

Por otra parte si $p \in \bigcap_{n=1}^{\infty} Q_c^{-n}(C)$ entonces $p, Q_c(p), Q_c^2(p), \dots, \subset C$ y

$C \subset C(0, |c|)$ así $p \in \Lambda_c$. Por consiguiente tenemos que $\Lambda_c = \bigcap_{n=1}^{\infty} Q_c^{-n}(C)$.

2) $Q_c^{-n}(C)$ está formado por la unión de 2^n “discos”

Verifiquemos que $Q_c^{-1}(C)$ consiste de la unión de dos “discos”.

En efecto, ya que cuando w recorre la frontera del disco C entonces su preimagen forma la frontera de un “disco” D_0 (homeomorfo a un disco) por medio de la función analítica ψ_0 , de manera análoga se forma la frontera de un segundo “disco” D_1 por medio de la función analítica ψ_1 . Además, tenemos que $D_0 = \psi_0(C) \subset \psi_0(C(0, |c|))$ y $D_1 = \psi_1(C) \subset \psi_1(C(0, |c|))$ ($A \subset B \implies \psi_0(A) \subset \psi_0(B)$).

Así $Q_c^{-1}(C)$ está formado por la unión de dos “discos” que son $\psi_{i_1}(C) = D_{i_1}$ donde $i_1 = 0, 1$ (ver Figura 11).

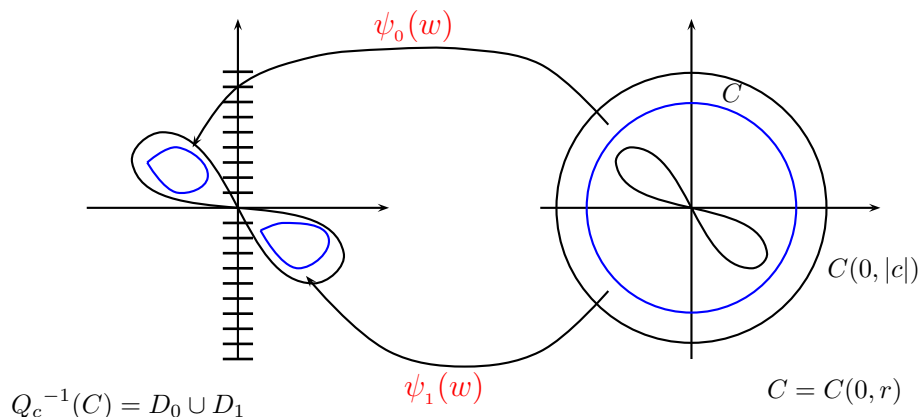


Figura 11

Del mismo modo cada uno de estos “discos” generan dos “discos” más, uno por $\psi_0(w)$ y otro por $\psi_1(w)$. Llegándose así a que $Q_c^{-2}(C)$ está compuesto por la unión de 2^2 “discos” que son

$$\psi_{i_1} \circ \psi_{i_2}(C) = D_{i_1, i_2} \text{ donde } i_1, i_2 = 0, 1.$$

Observemos que

$$\begin{array}{ll}
Q_c^{-1}(C) & Q_c^{-2}(C) \\
\psi_0(C) & \nearrow \psi_0(\psi_0(C)) = D_{0,0} \\
& \searrow \psi_1(\psi_0(C)) = D_{1,0} & \text{Formandose así} \\
\psi_1(C) & \nearrow \psi_0(\psi_1(C)) = D_{0,1} & 2^2 \text{ "discos" (ver Figura 12).} \\
& \searrow \psi_1(\psi_1(C)) = D_{1,1}
\end{array}$$

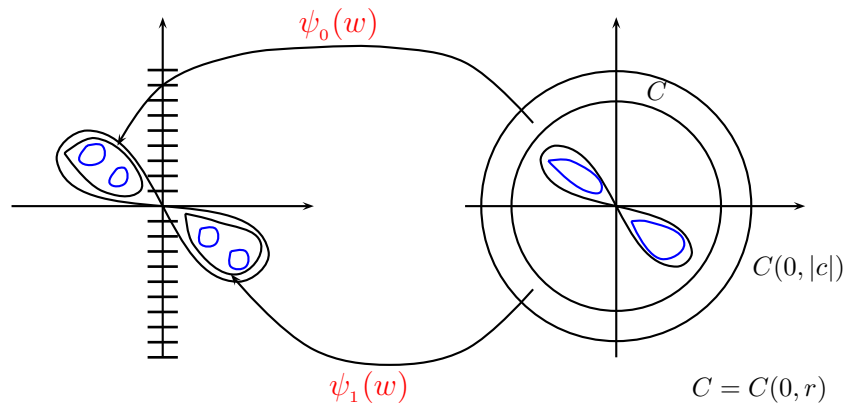


Figura 12

Igualmente $Q_c^{-3}(C)$ está formado por la unión 2^3 “discos” que son $\psi_{i_1} \circ \psi_{i_2} \circ \psi_{i_3}(C) = D_{i_1, i_2, i_3}$ donde $i_1, i_2, i_3 = 0, 1$.

$$\begin{array}{ll}
\psi_0(\psi_0(C)) & \nearrow \psi_0(\psi_0(\psi_0(C))) = D_{0,0,0} & \psi_0(\psi_1(C)) & \nearrow \psi_0(\psi_0(\psi_1(C))) = D_{0,0,1} \\
& \searrow \psi_1(\psi_0(\psi_0(C))) = D_{1,0,0} & & \searrow \psi_1(\psi_0(\psi_1(C))) = D_{1,0,1} \\
\psi_1(\psi_0(C)) & \nearrow \psi_0(\psi_1(\psi_0(C))) = D_{0,1,0} & \psi_1(\psi_1(C)) & \nearrow \psi_0(\psi_1(\psi_1(C))) = D_{0,1,1} \\
& \searrow \psi_1(\psi_1(\psi_0(C))) = D_{1,1,0} & & \searrow \psi_1(\psi_1(\psi_1(C))) = D_{1,1,1}.
\end{array}$$

Continuando este proceso llegamos a que $Q_c^{-n}(C)$ esta formado por la unión de 2^n “discos.” En efecto, ya que que $Q_c^{-n+1}(C)$ esta formado por la unión de 2^{n-1} “discos,” y cada uno me genera dos discos más, así $Q_c^{-n}(C)$ estará formado $2 \cdot 2^{n-1} = 2^{n-1+1} = 2^n$ “discos” que era lo deseado.

Concluyendo que $Q_c^{-n}(C)$ está formado por la unión de 2^n “discos” definidos como

$$\psi_{i_1} \circ \dots \circ \psi_{i_n}(C) = D_{i_1, \dots, i_n} \text{ donde } i_1, \dots, i_n = 0, 1 . \quad \boxtimes$$

Observación: De ahora en adelante cuando hablemos de la función $\psi_{i_1} \circ \dots \circ \psi_{i_n}$ entenderemos que los índices i_1, \dots, i_n están en el conjunto $A = \{0, 1\}$ y cuando hablemos de un “disco” de $Q_c^{-n}(C)$, o sea un “disco” D_{i_1, \dots, i_n} entenderemos que los índices están en el conjunto A . También escribiremos solamente discos sin comillas para referirnos a los conjuntos homeomorfos a un disco D_{i_1, \dots, i_n} .

Proposición 2.3 Sea $|c| > \frac{5 + \sqrt{24}}{4}$. Entonces existe un disco $C(0, r)$ tal que $\gamma \subset C(0, r) \subset C(0, |c|)$ y además $C(0, r) \cap C(c, 1/4) = \emptyset$.

Demostración:

Para demostrar que podemos hallar un disco $C(0, r)$ con las condiciones que indica el enunciado de la proposición comenzaremos respondiendo a las siguientes preguntas:

- a) ¿Cuál es el máximo valor que toma $|\psi_{i_1}(w)|$ cuando w está en la frontera de $C(0, |c|)$?
- b) ¿Dónde estará $\psi_{i_1}(C(0, |c|))$ en comparación con $C(c, 1/4)$ para valores de $z = \psi_{i_1}(w)$ ($w \in C(0, |c|)$) cercanos a nuestro máximo?

a) Para responder nuestra primera pregunta veamos cual es el máximo radio vector de los puntos en la frontera de γ . Sabemos que dichos puntos provienen de la frontera de $C(0, |c|)$ por medio de la función $\psi_{i_1}(w)$ y además conocemos cual es la función que nos genera $|z|$

$$|z| = \sqrt{|w - c|} = \sqrt{|c| \sqrt[4]{2 - 2 \cos(\theta_c - \theta_w)}}.$$

Sabemos que $-1 \leq \cos(\theta_c - \theta_w) \leq 1$, de manera que $0 \leq 2 - 2 \cos(\theta_c - \theta_w) \leq 4$ y así obtenemos

$$0 \leq \sqrt{|c| \sqrt[4]{2 - 2 \cos(\theta_c - \theta_w)}} \leq \sqrt{2} \sqrt{|c|}.$$

En consecuencia de la ecuación anterior el máximo radio vector $|z|$ va ser alcanzado en $\sqrt{2} \sqrt{|c|}$.

Observación: Denotaremos como z_m el vector de máximo $|z|$.

b) Continuando con nuestra segunda pregunta, verifiquemos que para valores de $|c| > \frac{5 + \sqrt{24}}{4}$ podemos probar $\sqrt{|c|}\sqrt{2} < |c| - 1/4$?

Para ello definamos $f(|c|) = \sqrt{|c|}\sqrt{2}$ y $g(|c|) = |c| - 1/4$ para $|c| > \frac{5 + \sqrt{24}}{4}$ y veamos que

$$f(c) = g(c) \quad \text{o sea}$$

$$\sqrt{|c|}\sqrt{2} = |c| - 1/4$$

$$(\sqrt{|c|}\sqrt{2})^2 = (|c| - 1/4)^2$$

$$2|c| = |c|^2 - \frac{|c|}{2} + \frac{1}{16} \quad \text{continuando que}$$

$$|c|^2 - \frac{5}{2}|c| + \frac{1}{16} = 0$$

cuyas soluciones son

$$|c| = \frac{\frac{5}{2} \pm \sqrt{\frac{25}{4} - \frac{1}{4}}}{2}$$

(esto viene de la ecuación $x = \frac{-b \pm \sqrt{b^2 - 4ac}}{2a}$ que se usa para buscar las soluciones de polinomios cuadráticos)

$$|c| = \frac{\frac{5}{2} \pm \frac{\sqrt{24}}{2}}{2}$$

$$|c| = \frac{5 \pm \sqrt{24}}{4} \implies |c|_1 = \frac{5 + \sqrt{24}}{4} \approx 2,47.$$

De manera que si $|c| > \frac{5 + \sqrt{24}}{4}$ entonces tenemos que $\sqrt{|c|}\sqrt{2} < |c| - 1/4$ y así $\gamma \cap C(c, 1/4) = \emptyset$, por tanto podemos hallar el disco $C(0, r)$ tal que $\gamma \subset C(0, r) \subset$

$C(0, |c|)$ y además cumple que $C(0, r) \cap C(c, 1/4) = \emptyset$. ✘

Verifiquemos que encontrar un “disco” (homeomorfo a un disco) que cumplan con las condiciones de la proposición 2.3 para valores de $2 < |c| < \frac{5 + \sqrt{24}}{4}$ no es posible

Para verificar que no es posible obtener tal disco para valores de $2 < |c| < \frac{5 + \sqrt{24}}{4}$ se verificara como estará el $\arg(z_m)$ en comparación con θ_c y ello nos ayudara ver si $C(c, 1/4)$ se intersecta con γ (ver Figura 13).

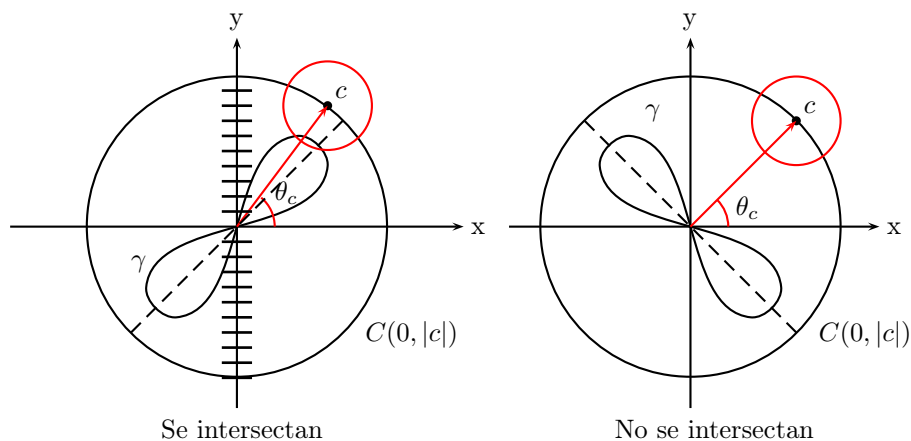


Figura 13

Para ello veamos en la Figura 14 que cuando w recorre la frontera del disco $C(0, |c|)$ el argumento del vector $w - c$ con mayor magnitud estará en $\frac{\pi}{2}$ con respecto a l ,

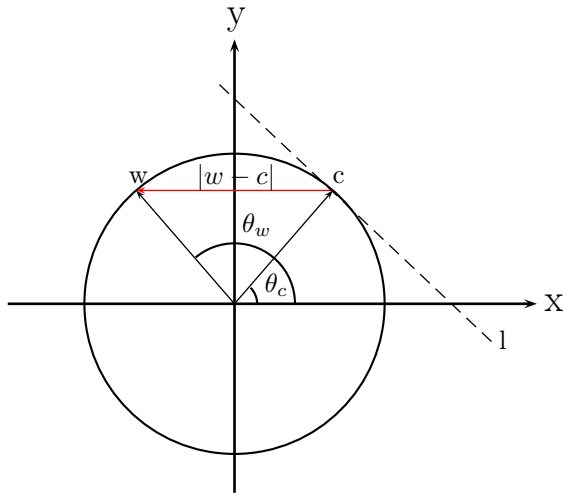


Figura 14

por tanto el argumento de mayor radio vector $\sqrt{|w - c|}$ va ser tomado en $\pi/2$ con respecto a l .

Así el $arg(z_m)$ con respecto a l será el argumento del vector de mayor $\sqrt{|w - c|}$ dividido entre 2, o sea $\frac{\pi}{4}$.

Pero como se había demostrado trasladando nuestro problema al origen (ver Figura 15), los argumentos de los vectores $w - c$ con respecto al eje x cumplían con

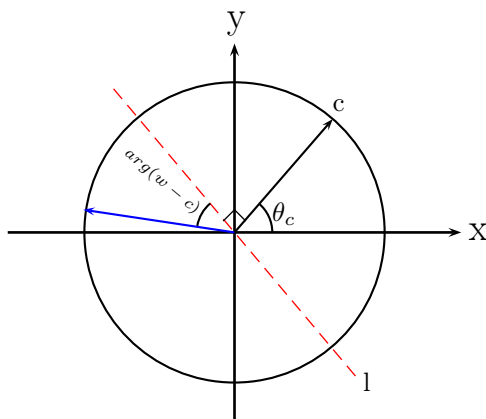


Figura 15

$$\theta_c + \frac{\pi}{2} < \arg(w - c) < \theta_c + \frac{3\pi}{2}$$

y así obteníamos que

$$\frac{\theta_c}{2} + \frac{\pi}{4} < \frac{\arg(w - c)}{2} < \frac{\theta_c}{2} + \frac{3\pi}{4}.$$

por tanto el $\arg(z_m)$ con respecto al eje x sera

$$\frac{\theta_c}{2} + \frac{\pi}{4} + \frac{\pi}{4} = \frac{\theta_c}{2} + \frac{\pi}{2}.$$

Ahora veamos si $\frac{\theta_c}{2} + \frac{\pi}{2}$ esta lejos o cerca de θ_c (para valores de θ_c).

Si $\theta_c = \frac{\pi}{4}$ entonces nos queda que

$$\arg z_m = \frac{\theta_c}{2} + \frac{\pi}{2} = \frac{\pi}{8} + \frac{\pi}{2} = \frac{5\pi}{8} \quad (\text{ver Figura 16})$$

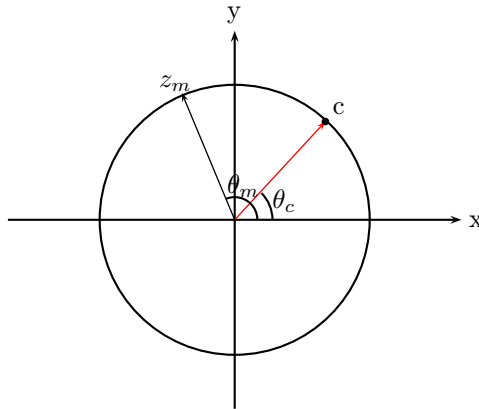


Figura 16

Si $\theta_c = 0$

entonces $\arg z_m = \frac{\pi}{2} = \frac{\pi}{2}$ (ver Figura 17).

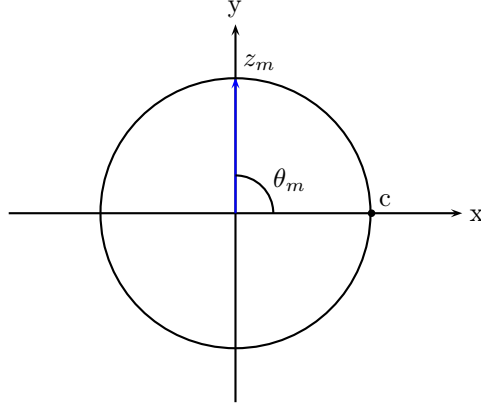


Figura 17

De manera que para $\theta_c = \frac{\pi}{4}$ y $\theta_c = 0$ el argumento $\frac{\theta_c}{2} + \frac{\pi}{2}$ no va estar cerca de θ_c .

Luego si $\theta_c = \pi$ entonces $\frac{\theta_c}{2} + \frac{\pi}{2} = \frac{\pi}{2} + \frac{\pi}{2} = \pi$, con lo que θ_c y $\frac{\theta_c}{2} + \frac{\pi}{2}$ coinciden (ver Figura 18).

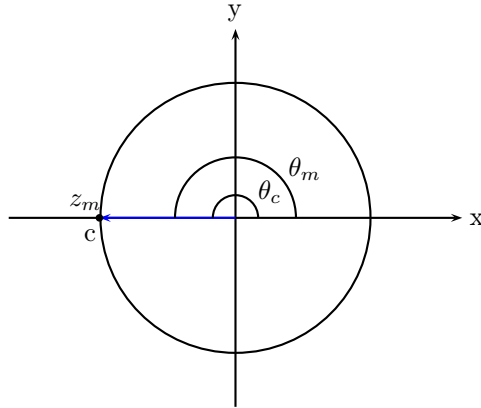


Figura 18

Y además si θ_c esta cerca de π entonces $\frac{\theta_c}{2} + \frac{\pi}{2}$ esta cerca de θ_c (ver Figura 19).

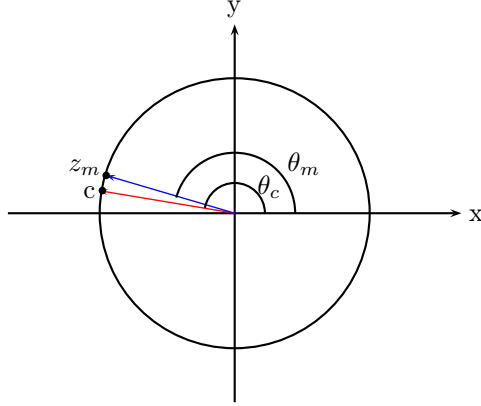


Figura 19

De manera que podemos concluir que si el ángulo del vector c esta cerca o coincide con π entonces $\gamma \cap C(c, 1/4) \neq \emptyset$, de manera que nuestro intento de encontrar un “disco” para valores de $2 < |c| < \frac{5 + \sqrt{24}}{4}$ no es posible.

Observación: Denotaremos el ínfimo y el supremo de un conjunto A con la notación $\inf(A)$ y $\sup(A)$.

Proposición 2.4 Sea $|c| > \frac{5 + \sqrt{24}}{4}$ y $d = \min\{n, h\}$ donde $n = \inf(\{|z|, z \in D_0\})$ y $h = \inf(\{|z|, z \in D_1\})$, entonces $d > \frac{1}{2}$.

Demostración:

Para demostrar que $n = \inf\{|z|, z \in D_0\}$ y $h = \inf\{|z|, z \in D_1\}$ son estrictamente mayores que $\frac{1}{2}$ tomemos el disco de radio $1/2$ centrado en el origen $C(0, 1/2)$.

Notemos que los puntos z tales que $|Q_c'(z)| \leq 1$ son los puntos que están en el disco $C(0, 1/2)$, ya que $|Q_c'(z)| = |2z|$ y $2|z| \leq 1$ sí $|z| \leq \frac{1}{2}$ así $z \in C(0, 1/2)$. Además veamos que este disco es transformado por Q_c en el disco $C(c, 1/4)$ (ver Figura 20).

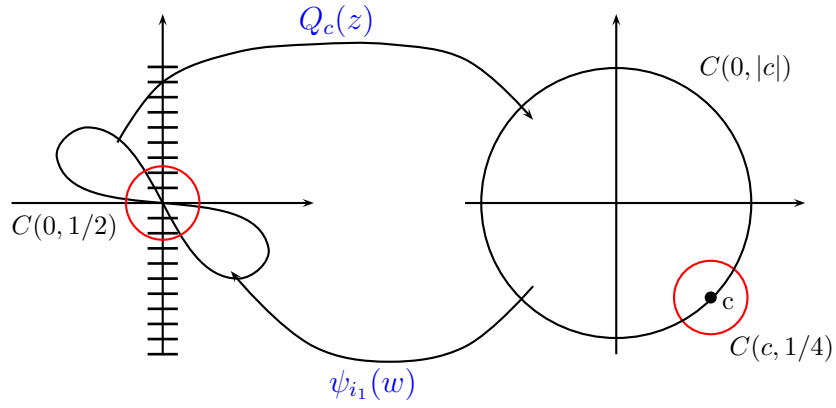


Figura 20

En efecto ya que si $z \in C(0, 1/2)$ entonces

$$|Q_c(z) - c| = |z^2| \leq \frac{1}{4}.$$

Luego los puntos w que están en el disco centrado en c y radio $1/4$ ($Q_c(C(0, 1/2)) = C(c, 1/4)$) cumplen con $|\psi'_{i_1}(w)| \geq 1$.

En efecto,

$$|\psi'_{i_1}(w)| = \frac{1}{|Q'_c(\psi_{i_1}(w))|} \geq 1 \quad \text{para} \quad w \in C(c, 1/4) \quad (\psi_{i_1}(w) \in C(0, 1/2)).$$

En consecuencia los puntos que están fuera del disco $C(c, 1/4)$ su derivada es menor que uno.

Así por la proposición 2.3 sea el disco $C(0, r)$ tal que $C(0, r) \supset \gamma$ y $C(0, r) \cap C(c, 1/4) = \emptyset$ para valores de $|c| > \frac{5 + \sqrt{24}}{4}$ entonces $\psi_0(C(0, r))$ y $\psi_1(C(0, r))$ están fuera del disco de centro 0 y radio $\frac{1}{2}$ de manera que podemos garantizar $n = \inf\{|z|, z \in D_0\}$ y $h = \inf\{|z|, z \in D_1\}$ son estrictamente mayores que $\frac{1}{2}$ para $|c| > \frac{5 + \sqrt{24}}{4}$, por lo tanto $d > \frac{1}{2}$. \blacktimes

Capítulo 3

Convergencia a 0 del $\text{diam}(\mathbf{D}_{i_1, i_2, \dots, i_n})$ cuando $n \rightarrow \infty$ para valores de $|c| > 2$

Para demostrar que $\text{diam}(D_{i_1, i_2, \dots, i_n}) \rightarrow 0$ cuando $n \rightarrow \infty$ para $|c| > 2$ utilizaremos dos caminos, uno de estos caminos nos servirá solo para valores de $|c| > \frac{5 + \sqrt{24}}{4}$ y para el segundo camino introduciremos unas nuevas herramientas que nos ayudaran a demostrarlo para $|c| > 2$.

Sea C el disco de la proposición 2.2) y demostraremos:

Proposición 3.1 Sea $|c| > \frac{5 + \sqrt{24}}{4}$ entonces

1. $\text{diam}(D_{i_1, i_2, \dots, i_n}) \leq \lambda^n \text{diam}(C)$ $0 < \lambda < 1$.

2. $\text{diam}(D_{i_1, i_2, \dots, i_n}) \rightarrow 0$ cuando $n \rightarrow \infty$.

Demostración:

1) $\text{diam}(\mathbf{D}_{i_1, i_2, \dots, i_n}) \leq \lambda^n \text{diam}(C)$

Sea $x, y \in C$ y consideremos el segmento de recta que une x con y

$$p(t) = x(1 - t) + yt \quad \text{donde } 0 \leq t \leq 1.$$

Luego como ψ_{i_1} es una función continua entonces $\psi_{i_1}(p(t)) = \widehat{p}_{i_1}(t)$ es una curva dentro de D_{i_1} (ver Figura 21).

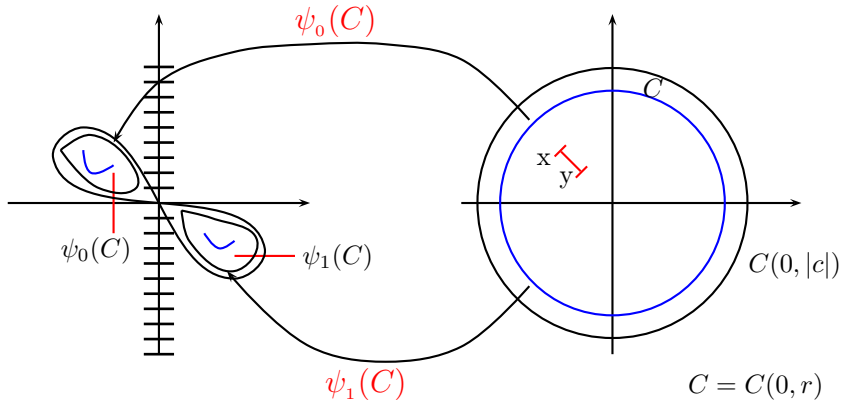


Figura 21

Así tenemos que

$$d(\psi_{i_1}(x), \psi_{i_1}(y)) \leq l(\widehat{p}_{i_1}(t)).$$

Nota: La notación $l(\widehat{p}_{i_1}(t))$ es la longitud de la curva.

Además tenemos

$$l(\widehat{p}_{i_1}(t)) = \int_0^1 |(\widehat{p}_{i_1}(t))'| dt \quad (1) \quad \left(\text{esto es por definición de } l(\widehat{p}_{i_1}(t)) \right),$$

$$|(\widehat{p}_{i_1}(t))'| = |\psi_{i_1}(p(t))'| = |\psi'_{i_1}(p(t))| |p'(t)| \quad (2) \quad \left(\text{esto es por la } R \text{ cadena y propiedades de la norma} \right)$$

$$\begin{aligned} |\psi'_{i_1}(p(t))| &= \frac{1}{|Q_c'(\psi_{i_1}(p(t)))|} && \left(\text{esto es debido a que } \psi_{i_1} \text{ y } Q_c \right. \\ &= \frac{1}{2|\psi_{i_1}(p(t))|} && \left. \text{son funciones inversas} \right). \end{aligned} \quad (3)$$

Por otra parte sea “d” tal que

$$d = \min\{n, h\} \text{ donde } n = \inf\{|z|, z \in D_0\} \text{ y } h = \inf\{|z|, z \in D_1\}.$$

Así $|z| \geq d \quad \forall z \in D_0 \quad (z \in D_1)$. Luego como $\psi_0(p(t)) \subset D_0$ y $\psi_1(p(t)) \subset D_1$ entonces $|\psi_0(p(t))| \geq d$ y $|\psi_1(p(t))| \geq d$, por tanto $|\psi_{i_1}(p(t))| \geq d$ y así obtenemos $\frac{1}{d} \geq \frac{1}{|\psi_{i_1}(p(t))|}$, continuando que

$$|\psi'_{i_1}(p(t))| = \frac{1}{2|\psi_{i_1}(p(t))|} \leq \frac{1}{2d} \quad (4).$$

Volviendo a (1) y en virtud (2), (3), (4) obtenemos que

$$d(\psi_{i_1}(x), \psi_{i_1}(y)) \leq \int_0^1 |(\widehat{p}_{i_1}(t))'| dt = \int_0^1 \left[\frac{1}{2|\psi_{i_1}(p(t))|} |p'(t)| \right] dt \leq \left(\int_0^1 |p'(t)| dt \right) \left(\frac{1}{2d} \right)$$

y teniendo $\int_0^1 |p'(t)| dt = d(x, y)$ (ya que es la longitud de una recta que une x con y) nos queda,

$$d(\psi_{i_1}(x), \psi_{i_1}(y)) \leq \frac{1}{2d} d(x, y) \quad (5)$$

donde $\psi_{i_1}(x), \psi_{i_1}(y) \in D_{i_1}$.

Aplicando supremo ambos lados de (5) y debido a sus propiedades tenemos que

$$\sup_{\psi_{i_1}(x), \psi_{i_1}(y) \in D_{i_1}} d(\psi_{i_1}(x), \psi_{i_1}(y)) \leq \frac{1}{2d} \sup_{(x,y) \in C} d(x, y),$$

en consecuencia podemos afirmar

$$\text{diam}(D_{i_1}) \leq \frac{1}{2d} \text{diam}(C),$$

luego por la Proposición 2.3 tenemos que $d > \frac{1}{2}$
así,

$$0 < \frac{1}{2d} < 1$$

y llamando (lambda) $\lambda = \frac{1}{2d}$ se tiene

$$\text{diam}(D_{i_1}) \leq \lambda \text{diam}(C).$$

Por otra parte por (5) tenemos que

$$d(\psi_{i_1}(\psi_{i_2}(x)), \psi_{i_1}(\psi_{i_2}(y))) \leq \lambda d(\psi_{i_1}(x), \psi_{i_1}(y)),$$

por tanto aplicando supremo obtenemos

$$\sup_{\psi_{i_1}(\psi_{i_2}(x)), \psi_{i_1}(\psi_{i_2}(y)) \in D_{i_0, i_1}} d(\psi_{i_1}(\psi_{i_2}(x)), \psi_{i_1}(\psi_{i_2}(y))) \leq \lambda \sup_{\psi_{i_1}(x), \psi_{i_1}(y) \in D_{i_1}} d(\psi_{i_1}(x), \psi_{i_1}(y))$$

así

$$\text{diam}(D_{i_1, i_2}) \leq \lambda \text{diam}(D_{i_1})$$

por ende tenemos

$$\text{diam}(D_{i_1, i_2}) \leq \lambda^2 \text{diam}(C).$$

De manera análoga obtenemos que

$$\text{diam}(D_{i_1, i_2, i_3}) \leq \lambda^3 \text{diam}(C)$$

y continuando este proceso por inducción llegamos a que

$$\text{diam}(D_{i_1, i_2, \dots, i_n}) \leq \lambda^n \text{diam}(C).$$

En efecto ya que en el paso $n - 1$ tenemos que

$$\text{diam}(D_{i_1, i_2, \dots, i_{n-1}}) \leq \lambda^{n-1} \text{diam}(C).$$

Luego resolviendo el mismo procedimiento que se realizó después de (5) se llega a

$$\text{diam}(D_{i_1, i_2, \dots, i_n}) \leq \lambda \text{diam}(D_{i_1, i_2, \dots, i_{n-1}})$$

por tanto

$$\text{diam}(D_{i_1, i_2, \dots, i_n}) \leq \lambda^n \text{diam}(C).$$

2) $\text{diam}(D_{i_1, i_2, \dots, i_n}) \rightarrow 0$ cuando $n \rightarrow \infty$

Tomando límite cuando $n \rightarrow \infty$ en lo probado en 1) obtenemos que

$$0 \leq \lim_{n \rightarrow \infty} \text{diam}(D_{i_1, i_2, \dots, i_n}) \leq \left(\lim_{n \rightarrow \infty} \lambda^n \right) \text{diam}(C). \quad (1)$$

Pero el $\lim_{n \rightarrow \infty} \lambda^n = 0$ cuando $0 < \lambda < 1$, por tanto aplicando el Teorema del Emparedado en (1) nos queda que

$$\lim_{n \rightarrow \infty} \text{diam}(D_{i_1, i_2, \dots, i_n}) = 0,$$

para $|c| > \frac{5 + \sqrt{24}}{4}$. ✚

Para continuar con el segundo camino daremos unas nuevas definiciones.

Observación: Se define una bola de centro 0 y radio r como el conjunto $E = \{z : |z| < r\}$, que denotaremos $B(0, r)$.

Comencemos recordemos que en la geometría diferencial podemos definir una nueva norma de un vector así:

Definición 3.1 Sea $B = B(0, 1)$, entonces se define la función de Poincare

$$\rho : B \rightarrow B \text{ como } \rho(z) = \frac{1}{1 - |z|^2}.$$

Definición 3.2 Sea $B = B(0, 1)$ y $z \in B$, se define la longitud de un vector $E \in C$ saliendo de z como

$$\|E\|_{\rho, z} = \rho(z)|E|_e \quad (\text{donde } |E|_e \text{ denota la longitud euclidiana}).$$

Así obtenemos una nueva medida de longitud de una curva.

Definición 3.3 Sea $B = B(0, 1)$. Si

$$\tau : [a, b] \longrightarrow B$$

es una curva continuamente diferenciable entonces se define la longitud con la función ρ como

$$l_\rho(\tau) = \int_a^b \|\tau'(t)\|_{\rho, \tau(t)} dt$$

donde

$$\|\tau'(t)\|_{\rho, \tau(t)} = \rho(\tau(t))|\tau'(t)|.$$

Definición 3.4 Sea $B = B(0, 1)$, se define el conjunto $C_B(P, Q)$ como la colección de curvas continuamente diferenciables

$$\tau : [0, 1] \longrightarrow B \quad \text{tal que} \quad \tau(0) = P \quad \text{y} \quad \tau(1) = Q.$$

Ahora se definirá la distancia de Poincare .

Definición 3.5 Sea $B = B(0, 1)$ y sean $P, Q \in B$, se define la distancia de Poincare de P a Q como

$$d_\rho(P, Q) = \inf\{l_\rho(\tau) : \tau \in C_B(P, Q)\}.$$

Definición 3.6 Sea $B = B(0,1)$ y sea $f : B \rightarrow B$ una función continuamente diferenciable, se define el "pullback" con ρ bajo f como

$$f^* \rho(z) = \rho(f(z)) \left| \frac{\partial f}{\partial z} \right|.$$

También asumiremos algunas proposiciones que no serán demostradas.

Proposición 3.2 Si $f : B(0,1) \rightarrow B(0,1)$ es analítica, $f(z_1) = w_1$ y $f(z_2) = w_2$ entonces

$$\left| \frac{w_1 - w_2}{1 - w_1 \overline{w_2}} \right| \leq \left| \frac{z_1 - z_2}{1 - z_1 \overline{z_2}} \right|$$

y

$$|f'(z_1)| \leq \frac{1 - |w_1|^2}{1 - |z_1|^2}.$$

Demostración: Ver Página 16 de Steven. G Krantz, Complex Analysis the Geometric Viewpoint.

Proposición 3.3 La topología inducida en $B(0,1)$ por la métrica de Poincare es la misma que la métrica euclidiana.

Demostración: Ver Página 54 de Steven.G Krantz, Complex Analysis the Geometric Viewpoint.

Proposición 3.4 El disco unitario con la métrica de Poincare es un espacio métrico completo.

Demostración: Ver Página 55 de Steven.G Krantz, Complex Analysis the Geometric Viewpoint.

Se demostrara ahora el clásico lema de Schwarz.

Teorema 3.1 Sea $B = B(0,1)$ y $F : B \rightarrow B$ una función analítica entonces F disminuye la distancia de Poincare bajo la función ρ . Esto es para cualquier $z \in B$

$$|F^*(\rho(z))| \leq |\rho(z)|.$$

Y además si $\tau : [0,1] \rightarrow B(0,1)$ es una curva continuamente diferenciable entonces

$$l_\rho(F \circ \tau(t)) \leq l_\rho(\tau(t)).$$

Y si P y Q son elementos de B entonces

$$d_\rho(F(P), F(Q)) \leq d_\rho(P, Q).$$

Demostración: Sabemos que

$$F^*(\rho(z)) = |F'(z)|\rho(F(z)) = |F'(z)|\frac{1}{1 - |F(z)|^2}.$$

Por la Proposición 3.2 haciendo $w = F(z)$ obtenemos,

$$|F'(z)| \leq \frac{1 - |w|^2}{1 - |z|^2}$$

pero esto es

$$|F'(z)|\frac{1}{1 - |F(z)|^2} \leq \frac{1}{1 - |z|^2} = \rho(z),$$

así

$$F^*\rho(z) \leq \rho(z) \quad (1).$$

Por otra parte si $\tau : [0, 1] \rightarrow B$ es curva continuamente diferenciable entonces por (1)

$$\rho(F(\tau(t)))|F'(\tau(t))| \leq \rho(\tau(t))$$

luego multiplicando ambos miembros por $|\tau'(t)|$ nos queda

$$\rho(F \circ \tau(t))|F'(\tau(t))||\tau'(t)| \leq \rho(\tau(t))|\tau'(t)|,$$

y esto significa

$$\|(F \circ \tau(t))'\|_{(\rho, F \circ \tau(t))} \leq \|\tau'(t)\|_{\rho, \tau(t)} \quad (\text{definición}).$$

Integrando ambos miembros de la ecuación anterior se obtiene

$$\int_0^1 \|(F \circ \tau(t))'\|_{(\rho, F \circ \tau(t))} dt \leq \int_0^1 \|\tau'(t)\|_{\rho, \tau(t)} dt$$

por tanto

$$l_\rho((F \circ \tau(t))) \leq l_\rho(\tau(t)) \quad (2).$$

Por otro lado sea $P, Q \in B$ y $\tau : [0, 1] \rightarrow B$ una curva continuamente diferenciable que une P con Q , entonces la curva $F(\tau(t))$ es continuamente diferenciable y cumple con $F(\tau(0)) = F(P)$ y $F(\tau(1)) = F(Q)$ por tanto es una curva que une $F(P)$ con $F(Q)$ y por (2) obtenemos,

$$l_\rho((F \circ \tau)(t)) \leq l_\rho(\tau(t))$$

y aplicando ínfimos ambos miembros

$$\inf(l_\rho((F \circ \tau)(t))) \leq \inf(l_\rho(\tau(t))),$$

pero esto significa por definición que

$$d_\rho(F(P), F(Q)) \leq d_\rho(P, Q) \quad (d_\rho(P, Q) = \inf \{L_\rho(\tau) : \tau \in C_B(P, Q)\}). \quad \boxtimes$$

Teorema 3.2 Sea $B = B(0, 1)$ y $F : B \rightarrow B$ una función analítica en su dominio además asumamos que la imagen $M = \{F(z) : z \in B\}$ de F es un compacto en B entonces F es una contracción con la métrica de Poincare .

Demostración: Por hipótesis existe un $\varepsilon > 0$ tal que si $m \in M$ y $|z| \geq 1$ entonces $|m - z| > 2\varepsilon$ (ver Figura 22).

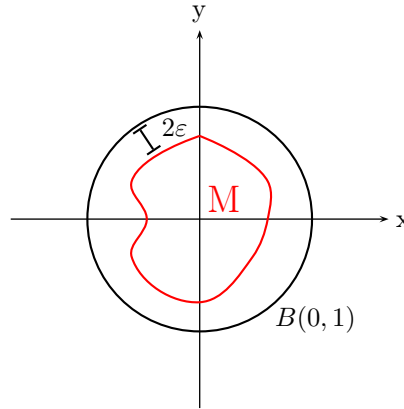


Figura 22

Fijemos $z_0 \in B(0, 1)$ y definamos

$$g(z) = F(z) + \varepsilon(F(z) - F(z_0)).$$

Como g es la composición de funciones analíticas entonces es analítica, además g manda $B(0, 1)$ dentro $B(0, 1)$ para ello veamos

$$\begin{aligned} |g(z)| &= |F(z) - \varepsilon(F(z) - F(z_0))| \leq |F(z)| + \varepsilon|F(z) - F(z_0)| && \text{(desigualdad triangular)} \\ &< 1 - 2\varepsilon + 2\varepsilon = 1 \end{aligned}$$

por tanto $|g(z)| < 1$. Por otra lado $g'(z) = F'(z) + \varepsilon F'(z)$, así

$$g'(z_0) = (1 + \varepsilon)F'(z_0).$$

Luego como g es una función analítica entonces por el Teorema 3.5 tenemos que

$$|g^* \rho(z_0)| \leq |\rho(z_0)|$$

esto significa que

$$\begin{aligned} |g^* \rho(z_0)| &= |(1 + \varepsilon)F'(z_0)\rho(g(z_0))| = (1 + \varepsilon)|F'(z_0)|\rho(F(z_0)) \\ &= (1 + \varepsilon)|F^* \rho(z_0)| \leq |\rho(z_0)|, \end{aligned}$$

y como z_0 es cualquiera de B entonces

$$(1 + \varepsilon)|F^* \rho(z)| \leq |\rho(z)|. \quad (1)$$

Por otra parte si $\tau : [0, 1] \rightarrow B(0, 1)$ es curva continuamente diferenciable entonces por (1) tenemos que

$$(1 + \varepsilon)\rho(F(\tau(t)))|F'(z)| \leq |\rho(\tau(t))|$$

así multiplicando por $|\tau'(t)|$,

$$(1 + \varepsilon)\rho(F(\tau(t)))|F'(z)||\tau'(t)| \leq |\rho(\tau(t))||\tau'(t)|.$$

Pero la ecuacion anterior significa

$$(1 + \varepsilon)\|F \circ \tau(t)\|_{\rho, F \circ \tau(t)} \leq \|\tau(t)\|_{\rho, \tau(t)},$$

e integrando ambos miembros nos queda

$$l_\rho(F \circ \tau) \leq (1 + \varepsilon)^{-1} l_\rho(\tau(t)) \quad \text{(por definicion)} \quad (2).$$

Por otro lado sea una curva $\sigma : [0, 1] \rightarrow B(0, 1)$ continuamente diferenciable tal que $\sigma(0) = P$ y $\sigma(1) = Q$, luego la curva $F(\sigma(t))$ es continuamente diferenciable y además cumple $F(\sigma(0)) = F(P)$ y $F(\sigma(1)) = F(Q)$ y aplicando (2)

$$l_\rho(F \circ \sigma(t)) \leq (1 + \varepsilon)^{-1} l_\rho(\sigma(t)),$$

luego aplicando ínfimo ambos lados

$$d_\rho(F(P), F(Q)) \leq \left(\frac{1}{1 + \varepsilon} \right) d_\rho(P, Q) \quad (\text{por definicion}).$$

Así denotando $M = \frac{1}{1 + \varepsilon}$ entonces

$$d_\rho(F(P), F(Q)) \leq M d_\rho(P, Q) \quad \text{donde } 0 < M < 1,$$

por tanto F es una contracción con la métrica ρ . \blackbox

Ahora trabajaremos con funciones analíticas definidas en la bola $B(0, r)$. Para ello daremos unas nuevas definiciones que nos ayudaran a utilizar las proposiciones demostradas, en las que trabajamos con la distancia de Poincare para funciones definidas en $B(0, 1)$.

Definamos $h : B(0, 1) \rightarrow B(0, r)$ como

$$h(z) = rz, \quad (\text{notemos que } h \text{ es una función biyectiva}).$$

$$\text{Así } h^{-1} : B(0, r) \rightarrow B(0, 1)$$

$$h^{-1}(z) = \frac{z}{r} \quad (h, h^{-1} \text{ son funciones analíticas}).$$

Ahora sea $x, y \in B(0, r)$ definimos

$$d'(x, y) = d_\rho\left(\frac{x}{r}, \frac{y}{r}\right) \quad (\text{donde } d_\rho \text{ denota la distancia de Poincare en la } B(0, 1))$$

observamos que d' es una métrica en el $B(0, r)$ y es llamada la métrica inducida por h^{-1} .

Teorema 3.3 *Sea $F : B(0, r) \rightarrow B(0, r)$ una función analítica y asumamos que $M = \{F(z) : z \in B(0, r)\}$ es un compacto contenido en $B(0, r)$ entonces F es una contracción con la métrica inducida d' .*

Demostración: Definamos $G : B(0, 1) \rightarrow B(0, 1)$ como $G(\bar{x}) = h^{-1} \circ F \circ h(\bar{x})$ donde $\bar{x} \in B(0, 1)$.

Veamos en la Figura 23 que G esta bien definida.

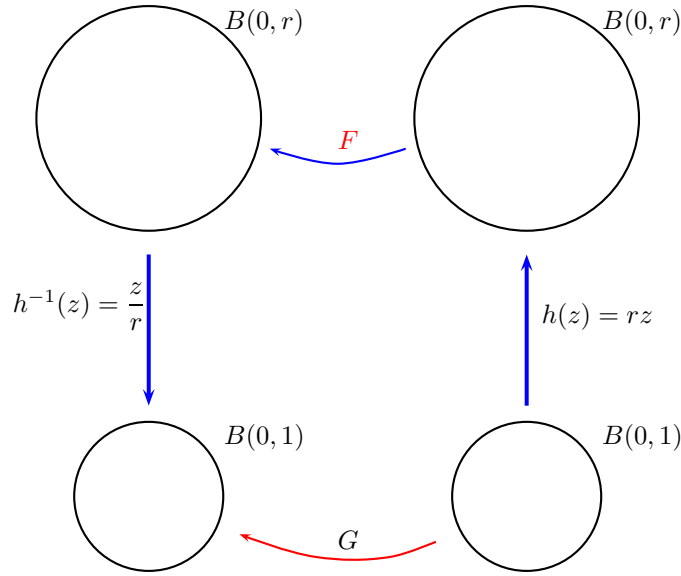


Figura 23

Por otra parte como la función G es composición de funciones analíticas entonces es analítica, así por el Teorema 3.2 tenemos que G es una contracción con la distancia de Poincare esto significa

$$d_\rho(G(\bar{x}), G(\bar{y})) \leq \lambda d_\rho(\bar{x}, \bar{y}) \quad \text{para } 0 < \lambda < 1,$$

luego

$$d_\rho(G(\bar{x}), G(\bar{y})) = d_\rho(h^{-1} \circ F \circ h(\bar{x}), h^{-1} \circ F \circ h(\bar{y})),$$

pero $h(\bar{x})$ y $h(\bar{y})$ están en $B(0, r)$ así $h(\bar{x}) = x$ y $h(\bar{y}) = y$ donde $x, y \in B(0, r)$. Siguiendo que

$$d_\rho(h^{-1}(F(x)), h^{-1}(F(y))) = d_\rho\left(\frac{F(x)}{r}, \frac{F(y)}{r}\right) = d'(F(x), F(y))$$

y por otro lado se tiene $d_\rho(\bar{x}, \bar{y}) = d_\rho(h^{-1}(x), h^{-1}(y)) = d'(x, y)$ por tanto tenemos que

$$d'(F(x), F(y)) \leq \lambda d'(x, y) \quad \text{para } x, y \in B(0, r) \text{ y } 0 < \lambda < 1.$$

Así la función F es una contracción con d' . \blackstar

Ahora sea el disco $C(0, r)$ de la proposición 2.2 y consideremos $B(0, r')$ donde $r' > 0$ y $r < r' < |c|$ (lo cual es posible ya que $C(0, r)$ es un conjunto compacto contenido en el interior del disco $C(0, |c|)$) entonces probaremos:

Corolario 3.1 *Sea $B = B(0, r')$ y $G : B \rightarrow B$ una función analítica en su dominio entonces la función G es una contracción con la métrica inducida d' .*

Demostración: Aplicando el teorema 3.3 G es una contracción con d' .

Observación: Denotaremos el diámetro con la métrica d' como $diam|_{ind}$ y con la métrica euclidiana como $diam|_e$.

Proposición 3.5 *Sea $|c| > 2$ entonces*

1. $\lim_{n \rightarrow \infty} diam|_{ind}(D_{i_1, i_2, \dots, i_n}) = 0$
2. $\lim_{n \rightarrow \infty} diam|_e(D_{i_1, i_2, \dots, i_n}) = 0$.

Demostración:

$$1) \lim_{n \rightarrow \infty} \mathbf{diam}|_{ind}(\mathbf{D}_{i_1, i_2, \dots, i_n}) = 0$$

Sea $B = B(0, r')$ y definamos $\psi_{i_1} : B \rightarrow B$, así por el corolario 3.1 ψ_{i_1} es una contracción con la métrica inducida d' ya que la función ψ_{i_1} es analítica en B y como el disco C de la proposición 2.2 esta en el interior de B entonces ψ_{i_1} es una contracción en el disco C con la métrica inducida d' así

$$d'(\psi_{i_1}(x), \psi_{i_1}(y)) \leq \lambda d'(x, y) \quad x, y \in C \quad (1).$$

Aplicando nuevamente (1) con la función ψ_{i_1} para $\psi_{i_2}(x), \psi_{i_2}(y) \in C$ obtenemos

$$d'(\psi_{i_1} \circ \psi_{i_2}(x), \psi_{i_1} \circ \psi_{i_2}(y)) \leq \lambda d'(\psi_{i_2}(x), \psi_{i_2}(y)) \leq \lambda^2 d'(x, y)$$

y en el paso n por inducción llegamos a

$$d'(\psi_{i_1} \circ \dots \circ \psi_{i_n}(x), \psi_{i_1} \circ \dots \circ \psi_{i_n}(y)) \leq \lambda^n d'(x, y) \quad \text{donde } 0 < \lambda < 1.$$

En efecto ya que en el paso $n - 1$ tenemos

$$d'(\psi_{i_1} \circ \dots \circ \psi_{i_n}(x), \psi_{i_1} \circ \dots \circ \psi_{i_n}(y)) \leq \lambda d'(\psi_{i_1} \circ \dots \circ \psi_{i_{n-1}}(x), \psi_{i_1} \circ \dots \circ \psi_{i_{n-1}}(y))$$

y además

$$d'(\psi_{i_1} \circ \dots \circ \psi_{i_{n-1}}(x), \psi_{i_1} \circ \dots \circ \psi_{i_{n-1}}(y)) \leq \lambda^{n-1} d'(x, y)$$

así

$$d'(\psi_{i_1} \circ \dots \circ \psi_{i_n}(x), \psi_{i_1} \circ \dots \circ \psi_{i_n}(y)) \leq \lambda^n d'(x, y) \quad \text{donde } 0 < \lambda < 1,$$

por tanto es cierto para el paso n . Luego aplicando supremos ambos miembros a la ecuación anterior

$$\sup d'(\psi_{i_1} \circ \dots \circ \psi_{i_n}(x), \psi_{i_1} \circ \dots \circ \psi_{i_n}(y)) \leq \lambda^n \sup d'(x, y)$$

pero esto significa

$$\text{diam}|_{\text{ind}}(D_{i_1, i_2, \dots, i_n}) \leq \lambda^n \text{diam}|_{\text{ind}}(C),$$

tomando límite a ambos miembros de la ecuación anterior se llega

$$0 \leq \lim_{n \rightarrow \infty} \text{diam}|_{\text{ind}}(D_{i_1, i_2, \dots, i_n}) \leq \lim_{n \rightarrow \infty} \lambda^n \text{diam}|_{\text{ind}}(C).$$

Luego como $\lim_{n \rightarrow \infty} \lambda^n = 0$ cuando $0 < \lambda < 1$ y por el teorema del emparedado obtenemos

$$\lim_{n \rightarrow \infty} \text{diam}|_{\text{ind}}(D_{i_1, i_2, \dots, i_n}) = 0.$$

$$2) \lim_{n \rightarrow \infty} \text{diam}|_e(D_{i_1, i_2, \dots, i_n}) = 0$$

Tenemos que d' y la métrica euclidiana son equivalentes en cualquier compacto contenido en C , en particular en el conjunto compacto $D_0 \cup D_1$ así existe $M > 0$ y $K > 0$ tal que

$$\begin{aligned} M d|_{\text{ind}}(\psi_{i_1} \circ \dots \circ \psi_{i_n}(x), \psi_{i_1} \circ \dots \circ \psi_{i_n}(y)) &\leq d|_e(\psi_{i_1} \circ \dots \circ \psi_{i_n}(x), \psi_{i_1} \circ \dots \circ \psi_{i_n}(y)) \\ &\leq K d|_{\text{ind}}(\psi_{i_1} \circ \dots \circ \psi_{i_n}(x), \psi_{i_1} \circ \dots \circ \psi_{i_n}(y)), \end{aligned}$$

luego aplicando supremo obtenemos

$$M \text{diam}|_{\text{ind}}(D_{i_1, i_2, \dots, i_n}) \leq \text{diam}|_e(D_{i_1, i_2, \dots, i_n}) \leq K \text{diam}|_{\text{ind}}(D_{i_1, i_2, \dots, i_n})$$

y tomando límite a la ecuación anterior se tiene

$$M \lim_{n \rightarrow \infty} \text{diam} \Big|_{\text{ind}} (D_{i_1, i_2, \dots, i_n}) \leq \lim_{n \rightarrow \infty} \text{diam} \Big|_{\text{e}} (D_{i_1, i_2, \dots, i_n}) \leq K \lim_{n \rightarrow \infty} \text{diam} \Big|_{\text{ind}} (D_{i_1, i_2, \dots, i_n}),$$

continuando que por lo demostrado en (1) y por teorema del emparejado obtenemos

$$\lim_{n \rightarrow \infty} \text{diam} \Big|_{\text{e}} (D_{i_1, i_2, \dots, i_n}) = 0 \quad \text{para} \quad |c| > 2. \quad \blackbox$$

Capítulo 4

Teorema Principal

Antes de demostrar el teorema principal enunciaremos el siguiente teorema:

Teorema 4.1 (Intersección de Cantor) *Sea $\{f_i\}$, $i \in N$ una sucesión de subconjuntos cerrados, no vacíos y acotados de R^n que cumplen*

$$f_1 \supseteq f_2 \supseteq \dots \supseteq f_n \supseteq \dots$$

entonces existe un punto que pertenece a todos los conjuntos $\{f_i : i \in N\}$.

Demostración: Su demostración es bastante conocida en los libros de análisis matemático.

Consideremos el conjunto Λ_c definido en el capítulo 1 y demostremos:

Teorema Principal Sea $c \in \mathcal{C}$ con $|c| > 2$ entonces el conjunto Λ_c es un conjunto de Cantor.

Demostración:

Λ_c es un conjunto cerrado.

Sabemos por la proposición 2.2 que $\Lambda_c = \bigcap_{n=1}^{\infty} Q^{-n}(C)$.

Así cuando $n = 1$ obtenemos que $Q_c^{-1}(C)$ está formado por la unión de dos discos, que son preimágenes de un disco C que es un conjunto cerrado en el plano,

luego como ψ_0 y ψ_1 son funciones continuas entonces las preimágenes $\psi_0(C)$ y $\psi_1(C)$ son conjuntos cerrados, por tanto $Q_c^{-1}(C)$ es la unión de 2 conjuntos cerrados que es cerrado (ya que la unión finita de cerrados es cerrado).

Cuando $n = 2$, tenemos que $Q_c^{-2}(C)$ es la unión por 2^2 discos (que son cerrados), así $Q_c^{-2}(C)$ es un conjunto cerrado.

De manera análoga, continuando este proceso inductivamente llegamos a que $Q_c^{-n}(C)$ es la unión de 2^n discos, de manera que $Q_c^{-n}(C)$ es un conjunto cerrado. En efecto ya que $Q_c^{-n+1}(C)$ esta formado por 2^{n-1} discos que son conjuntos cerrados y cada uno de ellos me genera dos discos cerrados por medio de las funciones continuas ψ_0 y ψ_1 , por tanto $Q_c^{-n}(C)$ estará formado por la unión $2 \cdot 2^{n-1} = 2^n$ discos cerrados que es cerrado.

Luego como la intersección infinita de cerrados es cerrado entonces

$$\Lambda_c = \bigcap_{n=1}^{\infty} Q_c^{-n}(C)$$

es un conjunto cerrado.

Λ_c es un conjunto totalmente desconexo

Tomemos $p \in \Lambda_c = \bigcap_{n=1}^{\infty} Q_c^{-n}(D)$, sea $\varepsilon > 0$ y consideremos la $B(p, \varepsilon)$.

Supongamos por reducción al absurdo que

$$B(p, \varepsilon) \subset \Lambda_c = \bigcap_{n=1}^{\infty} Q_c^{-n}(C)$$

entonces $B(p, \varepsilon) \subset \bigcap_{n=1}^{\infty} Q_c^{-n}(C)$ de manera que,

$$0 < \text{diam}(B(p, \varepsilon)) \leq \text{diam}(D_{i_1, \dots, i_n})$$

(donde cada D_{i_1, \dots, i_n} es un disco de $Q_c^{-n}(C)$) así obtenemos que

$$0 < 2\varepsilon \leq \text{diam}(D_{i_1, \dots, i_n}).$$

Luego aplicando en la ecuación anterior límite cuando $n \rightarrow \infty$ nos queda que

$$0 \leq 2\varepsilon \leq \lim_{n \rightarrow \infty} \text{diam}(D_{i_1, \dots, i_n}),$$

pero en virtud de la Proposición 3.5 tenemos que $\lim_{n \rightarrow \infty} \text{diam}(D_{i_1, \dots, i_n}) = 0$ para valores de $|c| > 2$ con lo que nos quedaría que $2\varepsilon = 0$, pero esto es absurdo ya que $\varepsilon > 0$.

Por tanto $B(p, \varepsilon)$ tiene puntos que no están en Λ_c .

En consecuencia Λ_c no contiene bolas así Λ_c es un conjunto totalmente desconexo.

Λ_c es un conjunto perfecto

Sea $p \in \Lambda_c$, $\varepsilon > 0$ y consideremos $B(p, \varepsilon)$ luego como $\dim|_e(D_{i_1, \dots, i_n}) \rightarrow 0$ cuando $n \rightarrow \infty$ entonces podemos encontrar un n tal que $Q_c^{-n}(D)$ contiene un disco tal que $D_{i_1, \dots, i_{n_k}} \subset B(p, \varepsilon)$ y $D_{i_1, \dots, i_{n_k}}$ contiene a p (también tiene puntos distintos de p).

Luego en la iteración $-n - 1$, el disco $D_{i_1, \dots, i_{n_k}}$ contiene 2 discos que vienen de ψ_0 (o de ψ_1) y están dentro de $B(p, \varepsilon)$, uno de estos discos contiene a p y el otro no.

Como en el disco que no contiene a p se va a generar una intersección anidada de discos entonces por el teorema de intersección de Cantor existe p_k perteneciente a dicha intersección anidada de discos, que se genera de un disco de cada n por tanto,

$$p_k \in \Lambda_c = \bigcap_{n=1}^{\infty} Q_c^{-n}(C)$$

así Λ_c es un conjunto perfecto. \boxtimes

Bibliografía

- [1] DEVANEY, ROBERT L. *An introduction to Chaotic Dynamical Systems*. Second edition. Addison - Wesley Publishing Company, Inc, 1989.
- [2] CHURCHILL, RUEL V.; BROWN, JAMES. *Variable compleja y aplicaciones*. Quinta edición, Mc Graw - Hill, 1992
- [3] MARSDEN, JERROLD E.; HOFFMAN, MICHAEL J. *Análisis básico de variable compleja*. Editorial Trillas. Primera edición. 1996.
- [4] KRANTZ, STEVEN G. *Complex Analysis: The Geometric Viewpoint*. The Mathematical Association of America, 1990